



ISSN: 1817-6798 (Print)

Journal of Tikrit University for Humanities

available online at: [www.jtuh.org/](http://www.jtuh.org/)**Bariq Eabd-Allatif Sabaar Al-Jbouri****Muhammad Attia Saleh Al-Jubouri**

\* Corresponding author: E-mail :  
[1994bariq1994@mail.com](mailto:1994bariq1994@mail.com)

**Keywords:**  
 climate extremism  
 thermal extremism  
 rainfall extremism  
 frost phenomenon

## ARTICLE INFO

### Article history:

Received 15 July 2024  
 Received in revised form 25 July 2024  
 Accepted 17 Aug 2024  
 Final Proofreading 2 Feb 2025  
 Available online 3 Feb 2025

E-mail [t-jtuh@tu.edu.iq](mailto:t-jtuh@tu.edu.iq)

©THIS IS AN OPEN ACCESS ARTICLE UNDER  
 THE CC BY LICENSE

<http://creativecommons.org/licenses/by/4.0/>



## Impact of Climate Extremism on the Recurrence of Frost Phenomena in Makhmur District during 1992-2022

### A B S T R A C T

The study deals with the impact of climate extremism on the recurrence of the phenomenon of frost in the Makhmur district during (1992-2022). The study relies on designing extreme climate models for temperature (the cold model and the hot model) and extreme climate models for precipitation (the dry model and the wet model). The study concludes, through statistical analysis of the repetition of extreme climate models and frost phenomena, that the cold model and the wet model positively affect the frequency and formation of frost. The percentage of influence of the cold model on frost reached (47%) in the northern station, while it reached (59%) on frost in Makhmur station. In the southern station it reached a percentage of (81%).

As for the wet model, its effect on frost was (33%) in the northern station. In Makhmur station, its effect on frost was (29%), while in the southern station its effect on frost was (19%).

The study concluded that the hot model and the dry model negatively affect the frequency and presence of the frost phenomenon. The effect of hot model reached (-47%) on frost in the northern station, while in Makhmur station the effect rate reached (-50%) on frost, and in the station in the south, the effect of frost was (-89%).

As for the effect of the dry model in the northern station its effect rate was (-13%) on frost, while in Makhmur station its effect rate was (-9%). In the southern station its effect rate on frost was (-40%).

© 2024 JTUH, College of Education for Human Sciences, Tikrit University

DOI: <http://doi.org/10.25130/jtuh.32.2.2025.13>

أثر التطرف المناخي على تكرار ظاهرة الصقيع في قضاء مخمور لمدة ١٩٩٢-٢٠٢٢

بارق عبد اللطيف صبار الجبوري / كلية التربية للعلوم الإنسانية / جامعة تكريت

محمد عطيه صالح الجبوري / كلية التربية للعلوم الإنسانية / جامعة تكريت

الخلاصة:

تناولت الدراسة أثر التطرف المناخي على تكرار ظاهرة الصقيع في قضاء المدة (١٩٩٢-٢٠٢٢)، ولذلك اعتمدت الدراسة على بناء النماذج المناخية المتطرفة للحرارة (النموذج البارد والنموذج الحار) والنماذج

المناخية المتطرفة للأمطار (النموذج الجاف والنموذج الرطب)، وذلك لتحقيق هدف الدراسة وهو معرفة مدى تأثير هذه النماذج على تكرار ظاهرة الصقيع، وتم التوصل لذلك من خلال التحليل الاحصائي لتكرار النماذج المناخية المتطرفة وتكرار ظاهرة الصقيع وايجاد العلاقة الاحصائية ونسبة التأثير بينها، وذلك باستخدام معامل ارتباط بيرسون والانحدار الخطي المتعدد.

توصلت الدراسة الى ان النموذج البارد والنموذج الرطب يؤثران ايجاباً على تكرار وتكوين الصقيع، اذ بلغت نسبة تأثير النموذج البارد (٤٧٪) على الصقيع في المحطة الشمالية، وبلغت نسبة تأثيره (٥٩٪) على الصقيع في محطة مخمور، اما في المحطة الجنوبية بلغت نسبة تأثيره (٨١٪) على الصقيع. اما بالنسبة للنموذج الرطب فبلغت نسبة تأثيره (٣٣٪) على الصقيع في المحطة الشمالية، وفي محطة مخمور بلغت نسبة تأثيره (٢٩٪) على الصقيع، بينما في المحطة الجنوبية كانت نسبة تأثيره (١٩٪) على الصقيع.

وتوصلت الدراسة الى ان النموذج الحار والنموذج الجاف يؤثران سلباً على تكرار ووجود ظاهرة الصقيع، حيث بلغت نسبة تأثير النموذج الحار (-٤٧٪) على الصقيع في المحطة الشمالية، اما في محطة مخمور بلغت نسبة تأثيره (-٥٠٪) على الصقيع، وفي المحطة الجنوبية بلغت نسبة تأثيره (-٨٩٪) على الصقيع.

اما بالنسبة لتأثير النموذج الجاف حيث بلغت نسبة تأثيره (-١٣٪) على الصقيع في المحطة الشمالية، بينما في محطة مخمور كانت نسبة تأثيره (-٩٪) على الصقيع، اما في المحطة الجنوبية بلغت نسبة تأثيره (-٤٠٪) على الصقيع.

## الكلمات المفتاحية: (التطرف المناخي، التطرف الحراري، التطرف المطري، ظاهرة الصقيع)

### مقدمة

يعد التطرف المناخي من الظواهر المناخية التي اشغلت العالم في العقود الاخيرة لما له من آثار سلبية على الجوانب الاقتصادية والاجتماعية. ويعرف التطرف المناخي بأنه ارتفاع أو انخفاض أحد العناصر المناخية عن المعدلات الطبيعية وما يسببه من آثار سلبية أو إيجابية<sup>(١)</sup>. ويقصد بالterrorism الحراري هو الانحراف الكبير لدرجات الحرارة عن المتوسط الذي يظهر مراراً وتكراراً، فهو يمثل درجة الحرارة القصوى والدنيا، وهو مؤشر لدرجة التطرف المناخي<sup>(٢)</sup>. ويقصد بالterrorism المطري وهو تباين القيم الامطار عن متوسطاتها العامة، فالتدبّب هو سمة ملزمة للطقس والمناخ نتيجة تباين عناصر المناخ يومياً وشهرياً وسنويًا سواء سلباً أو إيجاباً.

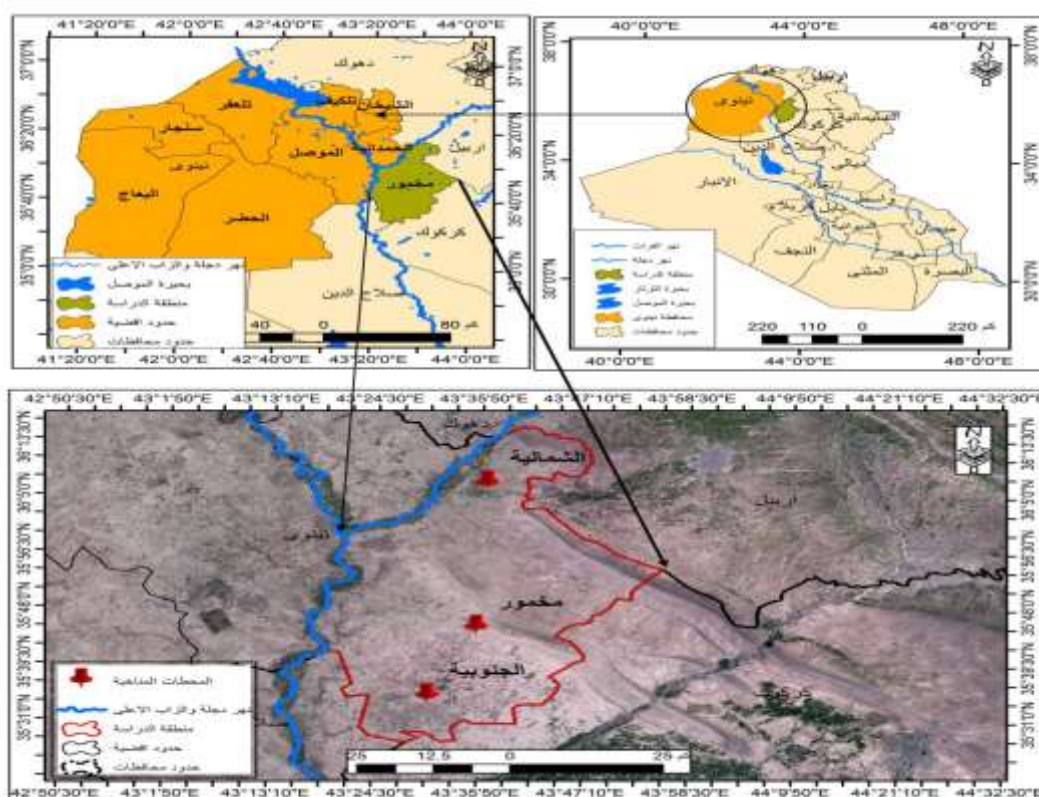
اما فيما يخص الصقيع هو الانخفاض في درجات الحرارة الى ما دون الصفر المئوي<sup>(٣)</sup>. ويعرف الصقيع ايضاً على انه الصقيع عبارة عن روابط صلبة من بخار الماء المشبع في الهواء ويكون عندما يبرد سطح صلب إلى درجة أقل من درجة الحرارة التي يتشكل عندها الثدي في الهواء<sup>(٤)</sup>.

ويحدث الصقيع في حالة استيفاء عدة شروط، فهو يتطلب سماء صافية، وكمية جيدة من بخار الماء في الهواء، وهواء ساكن، ودرجة حرارة الهواء أقل من الصفر درجة مئوية. إلا أن حدوث الصقيع لا يتطلب بالضرورة تكون الجليد، بل يحدث كلما تنخفض درجة الحرارة إلى ما دون الصفر المئوي<sup>(١)</sup>.

### (١-١) موقع منطقة الدراسة

تقع منطقة الدراسة في شمال العراق وهي جزء من الأقليم المتموج في شمال العراق، والتي تتبع إدارياً لمحافظة نينوى، أما فلكياً فتقع بين دائري عرض ( $35^{\circ} 36' 0''$  و  $35^{\circ} 55' 0''$ ) شماليًّاً وخطي طول ( $43^{\circ} 17' 0''$  و  $43^{\circ} 43' 0''$ ) شرقاً، وتبلغ مساحته (٢٧٦٦.٢٥) كم<sup>٢</sup>، وتشكل (٦.٩٧٪) من مساحة المحافظة، حيث تقع في الأقسام الشرقية من محافظة نينوى، حيث تقع منطقة الدراسة بين أربع محافظات رئيسية تحيط بها من جميع الجهات، تتمثل في محافظة نينوى، وأربيل وكركوك وصلاح الدين، ويحدها من الشمال الشرقي محافظة أربيل، ويحدها من الشرق والجنوب الشرقي محافظة كركوك، ويحدها من الغرب والجنوبي الغربي محافظة صلاح الدين لاحظ خريطة (١).

#### خريطة (١) موقع منطقة الدراسة



<sup>(١)</sup> المصدر:

من عمل الباحث اعتماداً على خريطة العراق الإدارية بمقاييس رسم ١:١٠٠٠٠٠٠١، باستخدام برنامج Arc GIS ١٠.٣.

<sup>(٢)</sup> بالاعتماد على خريطة محافظة نينوى الإدارية، وزارة التخطيط مديرية احصاء نينوى بمقاييس رسم ١:٢٥٠٠٠.

<sup>(٣)</sup> بالاعتماد على نموذج الارتفاع الرفقي DEM، والمرئية الفضائية (quick bird) ARC ١٠.٨ باستخدام برنامج

كما اعتمدت الدراسة على تحليل البيانات المناخية لمحطة مخمور الأرضية الموجودة في منطقة الدراسة ومحطتين افتراضيتين (المحطة الشمالية والجنوبية) في منطقة الدراسة لاحظ الجدول (١)

والخريطة (١)، وقد تم الاعتماد على الموسم المطري، وقد استخدمت هذه البيانات لتحليل اثر التطرف المناخي على تكرار ظاهرة الصقيع في منطقة الدراسة وللمدة (١٩٩٢-٢٠٢٢).

### جدول (١) المحطة المناخية في منطقة الدراسة

الارتفاع عن مستوى سطح البحر (م)	خط الطول		دائرة العرض		المحطة
	درجة	دقيقة	درجة	دقيقة	
٢٨٥	٤٣	٧٢	٣٦	٠٣	الشمالية
٢٧٠	٤٣	٣٢	٣٥	٤٥	مخمور
٢٠٠	٤٣	٦٤	٣٥	٣١	الجنوبية

المصدر: جمهورية العراق، وزارة النقل والمواصلات، الهيئة العامة للأتواء الجوية، قسم المناخ، بيانات غير منشورة.

### (٢-١) مشكلة الدراسة

لكل بحث مشكلة او تساؤل تحتاج لاجابة ومشكلة الدراسة تكمن فيما يلي:

- ١- هل للتطرف المناخي تأثير على مناخ منطقة الدراسة؟؟
- ٢- هل للتطرف المناخي تأثير على تكرار ظاهرة الصقيع؟
- ٣- هل هناك تباين زماني و مكاني في تكرار ظاهرة الصقيع في منطقة الدراسة؟

### (٣-١) فرضيات الدراسة

ترتبط فرضيات هذه الدراسة ارتباطا وثيقا بالأسئلة المذكورة سابقا وتنبع عنها مباشرة. ويمكن تلخيص فرضيات الدراسة فيما يلي:

- ١- هناك تأثير واضح للتطرف المناخي على منطقة الدراسة من خلال ارتفاع درجات الحرارة وانخفاض كميات الامطار.
- ٢- هناك تأثير للتطرف المناخي على تكرار ظاهرة الصقيع.
- ٣- هناك تباين زماني و مكاني في تكرار ظاهرة الصقيع في منطقة الدراسة.

### (٤-١) اهداف الدراسة

- ١- تحديد طبيعة التطرف المناخي الذي حدث في عناصر الحرارة والامطار في منطقة الدراسة.
- ٢- تحديد تأثير التطرف المناخي على تكرار وحدوث ظاهرة الصقيع في منطقة الدراسة، بالاعتماد على معامل ارتباط بيرسون والانحدار الخطي ، لتحديد التقارب بين المتغيرات.

### (٤-٢) منهجة الدراسة

اعتمدت الدراسة على المناهج الاتية وهي:-

١- **المنهج التحليلي:**- هو منهج منهجي يعتمد على التحديد الموضوعي لكمية ونوعية كل فقرة من فقرات البحث بحيث يمكن الحصول على نفس النتائج إذا تمت دراسة الموضوع مرة أخرى بنفس الأدوات والأساليب، أي ثبات النتائج مع اختلاف الزمن والمتغيرات المحيطة.

٢- **المنهج الكمي:**- هو منهجية بحث قوية مخصصة لجمع وتحليل البيانات القابلة للفياس بشكل منهجي. من خلال تقنيات إحصائية ورياضية صارمة، تستخرج هذه الطريقة رؤى من المسوحات المنظمة، أو التجارب الخاصة للرقابة، أو غيرها من طرق جمع البيانات المحددة.

#### (٥) التوزيع المكاني للصيقع

يتضح من الجدول (٢) والشكل (٢) والخريطة (١) ان هناك تباين في ظاهرة الصيقع في منطقة الدراسة حيث بلغ المعدل السنوي لتكرار الصيقع في المحطة الشمالية (١٥.١٧) وبلغ المعدل السنوي لتكرار الصيقع في محطة مخمور (١٢.٤٧) وبلغ المعدل السنوي لتكرار الصيقع في المحطة الجنوبية (١٠.٧٠) وان سبب هذا التباين ان المنطقة الشمالية اكثر تعرضاً للارتفاعات الجوية (السيبيري او الاوربي) والقتل الهوائية الباردة مما يزيد من انخفاض الحرارة في المحطة الشمالية اضافة الى انها تتسلم كمية اقل من الاشعاع الشمسي بسبب فرق دوائر العرض وهذا يعني الانخفاض في الحرارة، من هذا نستنتج ان تكرار ظاهرة الصيقع يقل كلما اتجهنا جنوباً.

#### (٦) التوزيع الزماني للصيقع

يتبن من الجدول (٢) والشكل (١) ان هناك تباين بين من شهر لأخر ويلاحظ ان محطات منطقة الدراسة لم تسجل ظاهرة الصيقع في الاشهر (تشرين ١ ونيسان، وايار) ويتبين ان ظاهرة الصيقع تزداد تكراراً خلال فصل الشتاء (كانون ١، كانون ٢، شباط) اذ بلغت معدلاتها الشهرية خلال هذا الفصل (٣.٢٣، ٣.٧٧، ٤.٢٠) على التوالي في المحطة الشمالية، وبلغت (٢.٥٧، ٥.٦٣، ٣.٦٧) في محطة مخمور على التوالي، وبلغت (٣.٢٣، ٤.٦٣، ٤.٦٣) في المحطة الجنوبية وذلك بسبب تأثير المرتفعات والمنخفضات الجوية والتي تعمل على خفض درجات الحرارة خلال هذه الاشهر وحيث تنشط في هذا الفصل، كما يحدث الصيقع في نهاية فصل الخريف (تشرين ٢) وبداية فصل الربيع (آذار) ولكن يكون تكرار الصيقع قليل خلال هذين الشهرين ويقترن تكراره مع تكرار القتل الهوائية الباردة، اذ بلغ معدل الشهرين المذكورين (٠.٣٠، ٠.٦٧) في المحطة الشمالية، وبلغ (٠.٤٧، ٠.١٣) في محطة مخمور، وبلغ (٠.٣٣، ٠.٠٧) في المحطة الجنوبية.

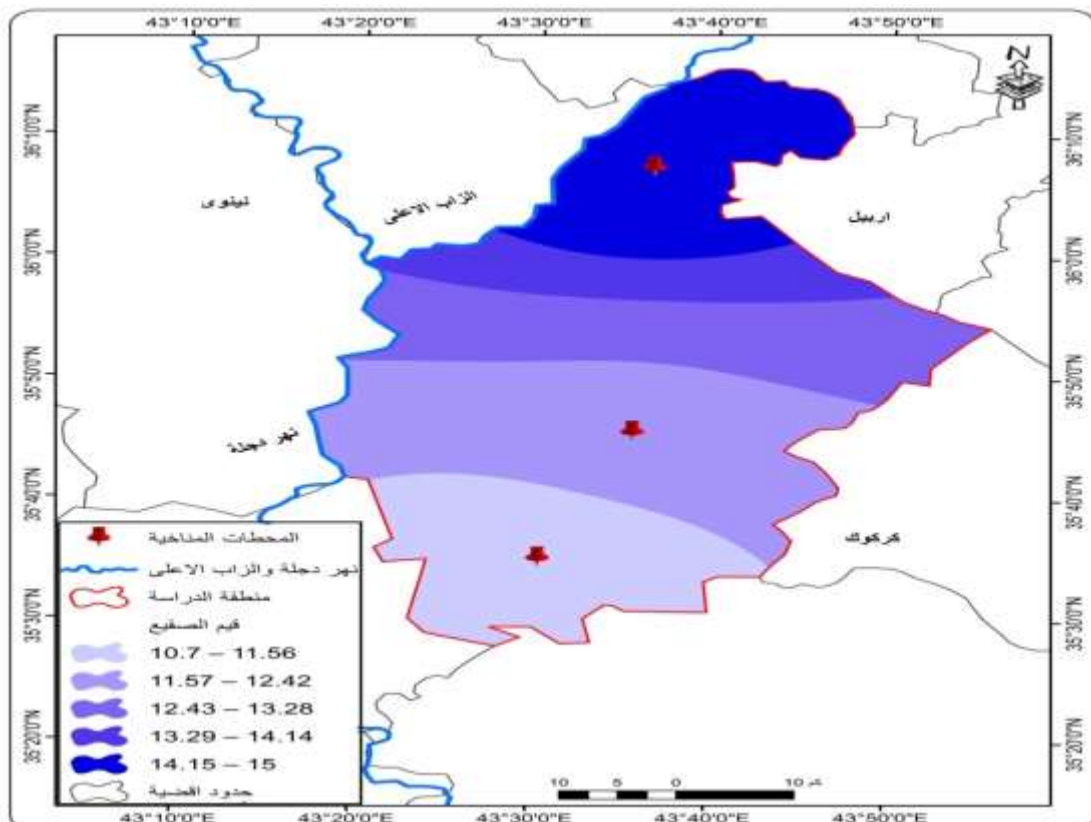
جدول (٢) يوضح قيم المعدلات الشهرية والسنوية لتكرار الصيقع (يوم) في منطقة الدراسة (١٩٩٢-٢٠٢٢)

الأشهر	المحطات		
	الشمالية	مخمور	الجنوبية
تشرين ١	0.00	0.00	0.00
تشرين ٢	0.30	0.13	0.07
كانون ١	3.23	2.57	2.43
كانون ٢	6.60	5.47	4.63
شباط	4.20	3.67	3.23
آذار	0.67	0.47	0.33
نيسان	0.00	0.00	0.00
ايار	0.00	0.00	0.00
المجموع السنوي	15.00	12.30	10.70

المصدر : وزارة النقل، الهيئة العامة لأنواع الجوية والرصد الزلزالي، قسم المناخ، بغداد، ٢٠٢٢، (بيانات غير منشورة).

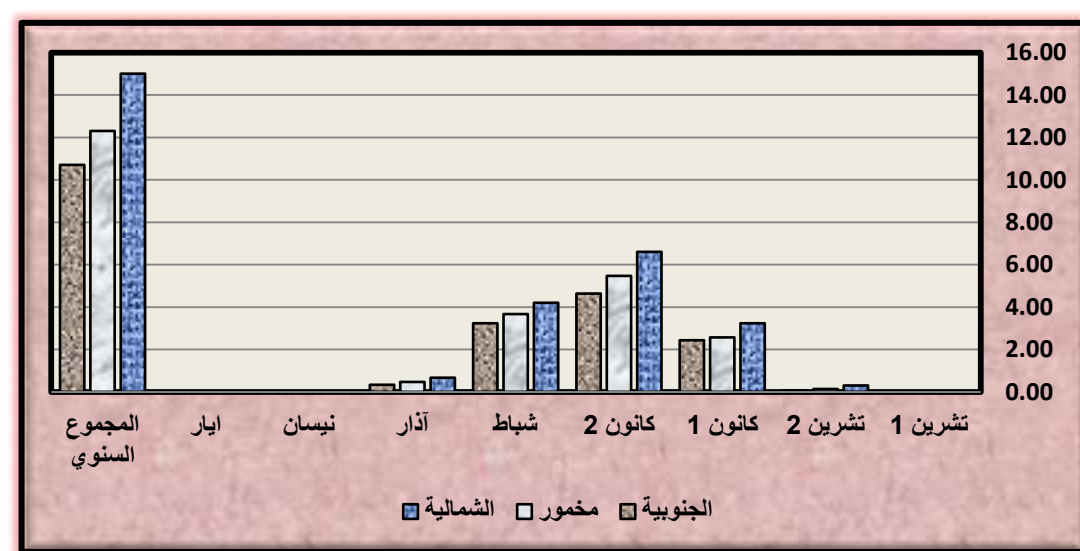
المصدر: بالأعتماد على بيانات الرابط <https://www.eumetsat.int/data-registration>

### خرائط (٢) قيم المعدلات السنوية لتكرار الصقيع في محطات منطقة الدراسة



من عمل الباحث بالأعتماد على الجدول (٢) وبرنامج Arc map 10.8 وبرنامج 10.8

شكل (١) يوضح قيم المعدلات الشهرية والسنوية لتكرار الصقيع في منطقة الدراسة لمدة (١٩٩٢-٢٠٢٢)



المصدر

من عمل الباحث بالأعتماد على الجدول (٢)

### (٧-١) درجات الحرارة

تؤثر درجة الحرارة على كافة العناصر الأخرى، بما في ذلك الضغط الجوي، والرياح، والتكتاف، والأمطار، ولاسيما ظاهرة الصقيع، وبما أن درجة الحرارة هي نتاج التفاعل بين الإشعاع الشمسي وسطح الأرض ومكونات الغلاف الجوي، فإن أي عامل يؤدي إلى إعادة توزيع الطاقة داخل الغلاف الجوي يمكن أن يؤثر على المناخ<sup>(١)</sup>، ولذلك فقد حظي الاتجاه العام لارتفاع درجات الحرارة بالاهتمام من العلماء.

وتعتبر درجة الحرارة السبب الأبرز لحدوث الظاهرة المدروسة، إذ يساهم انخفاض درجة الحرارة إلى الصفر المئوي أو أقل من ذلك مع توافر الظروف الأخرى في حدوثهما، بينما لا يحدث تكرارهما مع ظروف ارتفاع درجات الحرارة.

شهدت بيانات المحطات المناخية تبايناً مكانياً وزمانياً في معدلات درجات الحرارة سواء في الحرارة الاعتيادية أو العظمى أو الصغرى وكالآتي:-

### (٧-١) درجات الحرارة الاعتيادية

يتبيّن من تحليل الجدول (٣) والخرائط (٣) والشكل (٢) أن هناك تباين في درجات الحرارة بين محطات منطقة الدراسة إذ ارتفعت درجات الحرارة الاعتيادية بالاتجاه نحو الجنوب، وازداد بلغ معدل الاشهر لمحطة الشمالية (١٤.٩٧) م، وبينما بلغ معدل الحرارة في محطة مخمور (١٥.٨٢) م، بلغ (١٦.٤٠) في المحطة الجنوبية؛ وسبب هذا التباين هو الاختلاف في الموقع بالنسبة لدوائر العرض وزاوية سقوط الاشعاع الشمسي بين المحطات فضلاً عن إلى فرق الارتفاع بينها، وقد تباينت المعدلات الشهريّة من شهر لأخر اذ بلغة معدلات شهر الخريف (تشرين ١، تشرين ٢) (١٤.١٤، ٢٣.٢٥) م في المحطة الشمالية على التوالي، وبلغت (١٤.٠٧، ٢٤.٠٦) م في محطة مخمور، بينما بلغت (٢٤.٥٣، ١٥.٣٤) في المحطة الجنوبية، ونلاحظ ان الحرارة تتخلص بالتقدم نحو شهر الشتاء (كانون ١، كانون ٢، شباط) وباللغة معدلاتها (٨.٧٢، ٦.٩١، ٨.٧٩) م في المحطة الشمالية على التوالي، بينما بلغت معدلاتها (٩.٣٥، ٩.٥٨، ٧.٥٩) في محطة مخمور على التوالي، وبلغت معدلاتها (٨.٠٨، ٩.٨٠، ١٠.٢٠) في المحطة الجنوبية، اذ نلاحظ انخفاض درجات الحرارة الى ادنى مستوياتها اثناء هذه الاشهر، وذلك لسيطرة الضغط العالي السiberian وتكرار الكتل الهوائية القطبية وابعد الشمس، وهذا يزيد من تكرار حدوث ظاهرة الصقيع في عموم فصل الشتاء، واما فصل الربيع (آذار، نيسان، ايار) اذ تبدأ درجات الحرارة بالارتفاع تدريجياً وتصل الى اعلى معدلاتها في شهر ايار اذ بلغت المعدلات العامة لهذه

**جدول (٣) المعدلات الشهرية لدرجات الحرارة الاعتيادية (م) في محطات منطقة الدراسة للمدة (٢٠٢٢-١٩٩٢)**

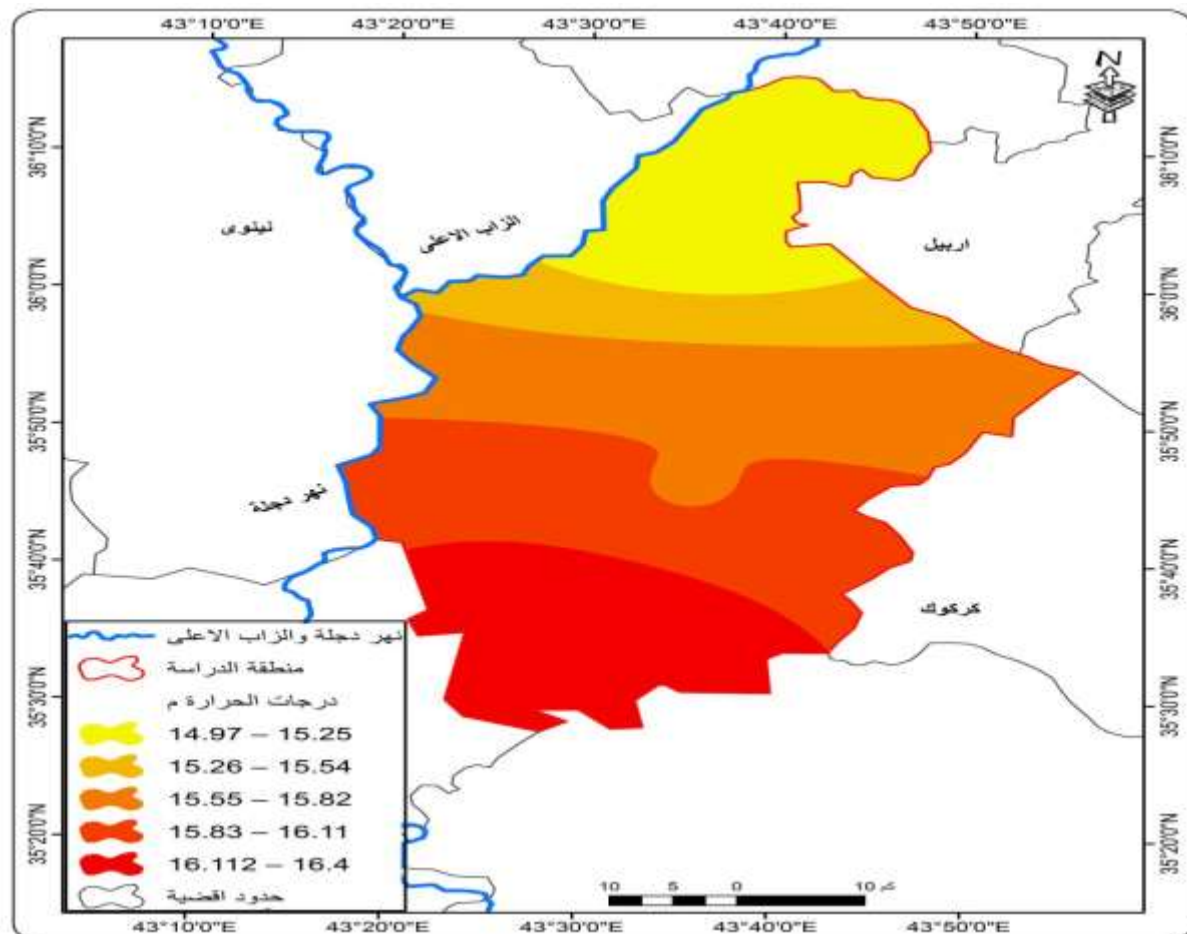
الجنوبية	مخمور	الشمالية	المحطات الأشهر
24.53	24.07	23.25	تشرين ١
15.34	14.86	14.14	تشرين ٢
9.80	9.35	8.72	كانون ١
8.08	7.59	6.91	كانون ٢
10.20	9.58	8.79	شباط
14.75	14.01	13.12	آذار

20.96	20.21	19.15	نيسان
27.53	26.90	25.67	ايار
16.40	15.82	14.97	معدل الاتساع

المصدر : وزارة النقل، الهيئة العامة للأدواء الجوية والرصد الزلزالي، قسم المناخ، بغداد، ٢٠٢٢، (بيانات غير منشورة).

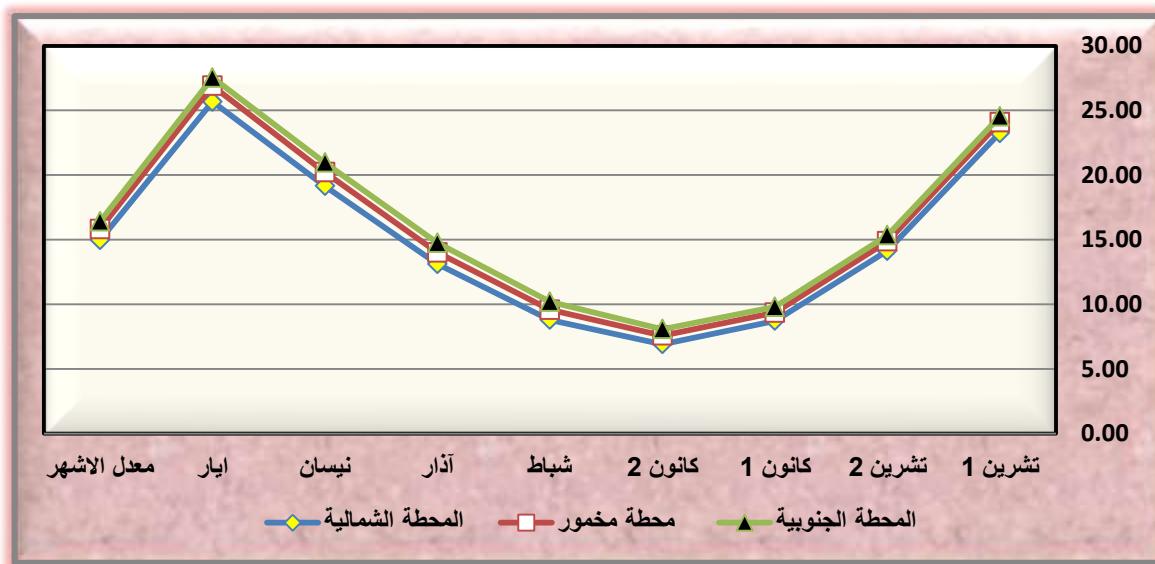
المصدر: بالاعتماد على بيانات ناسا الرابط <https://power.larc.nasa.gov/data-access-viewer>

### خرائط رقم (٣) توضح معدل درجات الحرارة (م) في منطقة الدراسة



المصدر: من عمل الباحث بالاعتماد على الجدول (٣) وبرنامج Arc map 10.8

شكل (٢) يوضح المعدلات الشهرية لدرجات الحرارة الاعتيادية (م) في محطات منطقة الدراسة لمدة ١٩٩٢-٢٠٢٢



المصدر: <https://power.larc.nasa.gov/data-access-viewer>

المصدر : وزارة النقل، الهيئة العامة للأنواء الجوية والرصد الزلزالي، قسم المناخ، بغداد، ٢٠٢٢-١٩٩٢، (بيانات غير منشورة).  
**جدول (٥) حدود النماذج الحرارية وتكرارها في محطة مخمور لمدة ٢٠٢٢-١٩٩٢**

حر جدا			الحار			المعتدل			البارد			بارد جدا			النماذج										
الأشهر	تشرين ١	تشرين ٢	كانون ١	كانون ٢	شباط	أذار	نيسان	أيار	معدل الأشهر	٣-٤	٢-٣	١-٢	٠-١	٢+٣	٣+٤	م ك	ك	م ك	ك	م ك	ك	م ك	ك	م ك	ك
-	-	26.5	25.57	6	26.4	24.08	19	25.2-22.8	22.39	4	21.6	21.57	1	21.5	فائق	-	-	-	-	12.4	12.02	3	12.3	فائق	
18.16	2	17.3	فأكثـر	16.94	2	17.2	14.77	23	16.4-13.2	-	-	-	-	-	-	-	-	-	-	-	-	-	-	-	
-	-	12.9	فأكثـر	11.88	5	12.8	9.56	18	11.1-7.5	7.22	6	5.8	5.72	1	5.7	فائق	-	-	-	-	-	-	-	-	-
10.63	1	10.2	فأكثـر	9.59	2	10.1	7.54	24	8.8-6.3	6.15	2	5	4.63	1	4.9	فائق	-	-	-	-	-	-	-	-	-
-	-	12.3	فأكثـر	11.23	5	12.2	9.58	21	10.9-8.2	7.64	3	6.9	6.46	1	6.8	فائق	-	-	-	-	-	-	-	-	-
-	-	17.6	فأكثـر	16.78	5	17.5	13.81	22	15.7-12.2	11.12	2	10.4	10.22	1	10.3	فائق	-	-	-	-	-	-	-	-	-
23.67	1	23.5	فأكثـر	22.52	4	23.4	20.15	20	21.8-18.5	17.9	5	16.9	-	-	16.8	فائق	-	-	-	-	-	-	-	-	-
30.51	1	29.7	فأكثـر	28.9	2	29.6	26.68	24	28.2-25.5	25.11	2	24.1	23.69	1	24.	فائق	-	-	-	-	-	-	-	-	-
17.5	2	17.4	فأكثـر	16.63	3	17.3	15.7	23	16.5-15	14.67	1	14.3	14.07	1	14.1	فائق	-	-	-	-	-	-	-	-	-
	7%				10%			77%			3%			3%		النسبة المئوية % في التكرار									

المصدر: <https://power.larc.nasa.gov/data-access-viewer>

المصدر : وزارة النقل، الهيئة العامة للأنواء الجوية والرصد الزلزالي، قسم المناخ، بغداد، ٢٠٢٢-١٩٩٢، (بيانات غير منشورة).

**جدول (٦) حدود النماذج الحرارية وتكرارها في المحطة الجنوبية لمدة (٢٠٢٢-١٩٩٢)**

حر جدا			الحار			المعتدل			البارد			بارد جدا			النماذج										
الأشهر	تشرين ١	تشرين ٢	كانون ١	كانون ٢	شباط	أذار	نيسان	أيار	معدل الأشهر	٣-٤	٢-٣	١-٢	٠-١	٢+٣	٣+٤	م ك	ك	م ك	ك	م ك	ك	م ك	ك	م ك	ك
-	-	27.1	26.08	5	27	24.53	21	25.7-23.2	22.67	3	22	21.78	1	21.9	فائق	-	-	-	-	-	-	-	-	-	
18.73	1	18.5	فأكثـر	17.68	3	18.4	15.23	23	16.8-13.8	12.81	2	12.2	12.19	1	12.1	فائق	-	-	-	-	-	-	-	-	-
-	-	12.9	فأكثـر	12.13	6	12.8	9.83	18	11.5-8	7.59	5	6.7	6.17	1	6.6	فائق	-	-	-	-	-	-	-	-	-
11.01	1	10.7	فأكثـر	9.9	3	10.6	8.07	22	9.3-6.7	6.39	3	5.4	5.03	1	5.3	فائق	-	-	-	-	-	-	-	-	-
-	-	12.9	فأكثـر	11.97	5	12.8	10.27	20	11.5-8.8	8.34	4	7.5	7.08	1	7.4	فائق	-	-	-	-	-	-	-	-	-
-	-	18.3	فأكثـر	17.36	5	18.2	14.54	22	16.4-13	12.02	2	11.2	11.11	1	11.1	فائق	-	-	-	-	-	-	-	-	-
24.23	1	٢٤ فـ	فأكثـر	23.03	4	23.9	20.93	20	22.4-19.4	18.8	5	17.9	-	-	17.8	فائق	-	-	-	-	-	-	-	-	-
30.12	1	30.1	فأكثـر	29.22	3	30	27.36	24	28.7-26.2	25.66	1	25	24.77	1	24.9	فائق	-	-	-	-	-	-	-	-	-
18.23	1	١٨ فـ	فأكثـر	17.58	3	17.9	16.36	22	17.1-15.6	15.45	3	14.9	14.75	1	14.8	فائق	-	-	-	-	-	-	-	-	-
	3%				10%			73%			10%			3%	النسبة المئوية للتكرارات %										

المصدر: <https://power.larc.nasa.gov/data-access-viewer>

المصدر : وزارة النقل، الهيئة العامة للأنواء الجوية والرصد الزلزالي، قسم المناخ، بغداد، ٢٠٢٢-١٩٩٢، (بيانات غير منشورة).  
**يتضح من الجداول (٤ و ٥ و ٦) اعلاه ان هناك تباين في توزيع النماذج الحرارية وذلك تبعاً للموقع الجغرافية لمحطات لمحطات منطقة الدراسة وهي كما يأتي:**

### (١-٢-٧) النموذج البارد

ويقصد به معدلات درجات الحرارة الشهرية التي تقع بين (١-٢) انحراف معياري عن المعدل العام. ويتبين من تحليل الجداول (٤ و ٥ و ٦) تباين التكرارات ومعدلاتها بين محطات منطقة الدراسة اذ

بلغ عدد تكرارات معدل الاشهر في المحطة الشمالية (٣) تكرارات وبلغ معدلها (١٤.٠٧) وشكلت نسبة (١٠%) من تكرارات النماذج, بينما بلغت عدد تكرارات النموذج البارد في محطة مخمور (١) وبلغ معدلها (١٤.٦٧) وبلغت النسبة المئوية للتكرارات في هذا النموذج (٣)% من بين تكرارات النماذج, وبلغت تكرارات معدل الاشهر في المحطة الجنوبية (٣) وبلغ معدلها (١٥.٤٥) وبلغت نسبتاً (١٠%) من بين بقية النماذج, اما المعدلات تتراوح معدلات تكرارات هذا النموذج في المحطة الشمالية بين (٥.٢٥)م في شهر كانون ٢ و (٤.٠٥)م في شهر ايار, بينما تراوحت معدلات الحرارة في النموذج البارد محطة مخمور بين (٦.١٥)م في شهر كانون ٢ وبين (٥.١١)م في شهر ايار ولم نجد أي تكرار لهذا النموذج في شهر تشرين ٢ في محطة مخمور, وتراوح المعدل في المحطة الجنوبية بين (٦.٣٩) في شهر كانون ٢ و (٥.٦٦) في شهر ايار, وتراوح التكرارات الشهرية بين (٢) في الاشهر تشرين ٢ و كانون ٢ و آذار وبين (٦) في شهر كانون ١, وتراوحت في محطة مخمور بين (٢) في شهری كانون ٢ و آذار وبين (٦) في شهر كانون ١, وتراوحت في المحطة الجنوبية (٢) في شهر تشرين ٢ و (٥) في شهری نيسان و كانون ١ ولا يوجد أي تكرار لهذا النموذج في شهر تشرين ٢ في محطة مخمور, ونجد ان درجات الحرارة في هذا النموذج في جميع محطات منطقة الدراسة تنخفض درجات الحرارة في اشهر الشتاء(كانون ١, كانون ١, شباط) اي ان الاشهر الباردة اكثر تكرار في هذا النموذج بسبب تأثير المرتفع البارد خلال هذه الاشهر, وترتفع في كلما ابتعدنا عن فصل الشتاء لتبلغ اعلى درجاتها في بداية فصل الخريف ونهاية فصل الربيع اي في شهری تشرين ١ و ايار.

#### (٢-٢-٧) النموذج الحار

ويقصد به معدلات درجات الحرارة الشهرية التي تقل عن (+٢+ و +١+) انحراف معياري عن المعدل العام. نجد ان الاشهر الحارة هي الاكثر تكرارا في هذا النموذج بسبب اقتراب الشمس وصفاء السماء, ويتبين من تحليل الجداول (٤ و ٥ و ٦) تباين التكرارات ومعدلاتها بين محطات منطقة الدراسة اذ بلغ عدد تكرارات معدل الاشهر للنموذج الحار في المحطة الشمالية (٢) تكرارات وبلغ معدلها (١٦.٠٤)م وشكلت نسبة (٧)% من تكرارات النماذج, بينما بلغت عدد تكرارات النموذج الحار في محطة مخمور (٣) وبلغ معدلها (١٦.٦٣)م وبلغت النسبة المئوية للتكرارات في هذا النموذج (١٠)% من بين تكرارات النماذج, بينما بلغت عدد تكرارات النموذج الحار في المحطة الجنوبية (٣) وبلغ معدلها (١٧.٥٨)م وبلغت النسبة المئوية للتكرارات في هذا النموذج (١٠)% من بين تكرارات النماذج, اما بمعدلات التكرارات اذ تتراوح معدلات تكرارات هذا النموذج في المحطة الشمالية بين (٨.٦٧)م في شهر كانون ٢ و (٤.٢٧)م في شهر ايار, بينما تراوحت معدلات الحرارة في النموذج الحار محطة مخمور بين (٩.٥٩)م في شهر كانون ٢ وبين (٢٨.٩)م في شهر ايار, بينما تراوحت معدلات الحرارة في النموذج الحار المحطة الجنوبية بين (٩.٩)م في شهر كانون ٢ وبين (٢٩.٢٢)م في شهر ايار, وتتراوح تكرارات هذا النموذج بين (٢) في تشرين ٢ و (٧) في شهر شباط في المحطة الشمالية, وتراوحت بين (٢) في الاشهر تشرين ١ و كانون ٢ وايار وبين (٦) في شهر تشرين ١ في محطة مخمور, وتراوحت بين (٣) في كانون ٢ وايار وبين (٦) في كانون ٢ , حيث نجد ان درجات الحرارة في هذا النموذج في جميع محطات تنخفض درجات الحرارة في اشهر الشتاء(كانون ١, كانون ١, شباط), وترتفع في كلما ابتعدنا عن فصل الشتاء لتبلغ اعلى درجاتها في بداية فصل الخريف ونهاية فصل الربيع اي في شهری تشرين ١ و ايار.

### (٣-٢-٧) النموذج البارد جداً (التطرف)

ويقصد به معدلات درجات الحرارة الشهرية التي تقل عن (-٣) انحراف معياري. ويتبين من الجداول (٤ و ٥ و ٦) تشابه عدد التكرارات في معدل الاشهر في جميع محطات منطقة الدراسة حيث بلغت التكرارات (١) ونسبتها من بين تكرارات بقية النماذج (٣)% وتبينت معدلاتها بين محطات منطقة الدراسة اذ بلغ معدل الاشهر للنموذج البارد جدا في المحطة الشمالية (١٣.٢) وبلغ (١٤.٠٧) في محطة مخمور وبلغ (١٤.٧٥) في المحطة الجنوبية، اما بالنسبة للمعدلات الشهرية للنموذج البارد جدا تراوح بين (٣.٨٧) في شهر كانون ٢ و (٢٢.٣٩) في شهر ايار في المحطة الشمالية ولم نجد أي تكرار لشهري تشرين ١ في المحطة الشمالية ولا يوجد أي تكرار للحرارة في شهر نيسان في جميع محطات منطقة الدراسة، وتراوحت المعدلات بين (٤.٣٦) في شهر كانون ٢ و (٢٣.٦٩) في شهر ايار في محطة مخمور، وتراوحت المعدلات بين (٥.٠٣) في شهر كانون ٢ و (٢٤.٧٧) في شهر ايار في المحطة الجنوبية، حيث نجد اعلى معدلات الحرارة خلال فصلي الخريف والربيع واقللها في فصل الشتاء، وبلغ عدد تكرارات هذا النموذج (١) في جميع الاشهر ولجميع المحطات ما عدا شهر تشرين ٢ في محطة مخمور حيث بلغت التكرارات (٣)، ولا يوجد أي تكرار للنموذج الحار جدا في شهر نيسان في جميع المحطات ولم يتكرر هذا النموذج في شهر تشرين ١ في المحطة الشمالية.

### (٤-٢-٧) النموذج الحار جداً (التطرف)

ويقصد به معدلات درجات الحرارة الشهرية التي تزيد عن (+٣) انحراف معياري عن المعدل العام. نجد ان التكرارات في هذا النموذج في الاشهر الدافئة وبلغت التكرارات الشهرية (١) ولم يوجد أي تكرار للنموذج الحار المتطرف في تشرين ١ وشباط وآذار، ويتضح من تحليل الجداول (٤ و ٥ و ٦) تباين التكرارات ومعدلاتها بين محطات منطقة الدراسة اذ بلغ عدد تكرارات معدل الاشهر للنموذج الحار في المحطة الشمالية (٢) تكرارات وبلغ معدلها (١٦.٦٦)م وشكلت نسبة (٧)% من تكرارات النماذج، بينما بلغت عدد تكرارات النموذج الحار في محطة مخمور (٢) وبلغ معدلها (١٧.٥)م وبلغت النسبة المئوية للتكرارات في هذا النموذج (٧)% من بين تكرارات النماذج، بينما بلغت عدد تكرارات النموذج الحار في المحطة الجنوبية (١) وبلغ معدلها (١٨.٢٣)م وبلغت النسبة المئوية للتكرارات في هذا النموذج (٣)% من بين تكرارات النماذج، ولم نجد أي تكرار للحرارة ضمن هذا النموذج في الاشهر تشرين ١ وكانون ١ وشباط وآذار، وتراوحت معدلات تكرارات هذا النموذج في المحطة الشمالية بين (٩.٩٢)م في شهر كانون ٢ و (٢٩.٥٦)م في شهر ايار، بينما تراوحت معدلات الحرارة في النموذج الحار محطة مخمور بين (١٠.٦٣)م في شهر كانون ٢ وبين (٣٠.٥١)م في شهر ايار، بينما تراوحت معدلات الحرارة في النموذج الحار المحطة الجنوبية بين (١١.٠٢)م في شهر كانون ٢ وبين (٣٠.١٢)م في شهر ايار.

نستنتج مما سبق تباين ان النماذج الحرارية بين محطات منطقة الدراسة وان درجات الحرارة في المحطة الشمالية اكثر انخفاضا مما ثم لها محطة مخمور ثم المحطة الجنوبية وذلك تبعا للموقع الجغرافي والموقع المناخي وبسبب فرق الارتفاع عن مستوى سطح البحر بين وبالنسبة لمنطقة الدراسة الاقسام الوسطى والشمالي اكثر ارتفاعا من الجنوبية والمعرف ان درجات الحرارة تنخفض بالارتفاع، وكذلك بسبب تباين تأثير المرتفعات الجوية والكتل الهوائية الباردة حيث يكون تأثيرها اكبر في الاجزاء الشمالية من منطقة الدراسة مما يساعد على تكرار ظاهري الضباب والصقيع بشكل اكبر في الاقسام الشمالية، وكذلك تباينت الحرارة بين شهر وآخر اذ كانت اشهر الشتاء (كانون ١، كانون ٢، شباط) اكبر انخفاضا

في درجات الحرارة من أشهر الخريف (تشرين ١، تشرين ٢) وأشهر الربيع (آذار، نيسان، أيار) بسبب نشاط المرتفعات الجوية والكتل الهوائية الباردة في فصل الشتاء وكذلك بسبب ابتعاد الشمس في هذا الفصل، وتبيّن أن التطرف والتذبذب يزداد تكراراً باتجاه البرودة خلال فصل الشتاء (ك ١، ك ٢، شباط) ونهاية فصل الخريف (ت ٢) وبداية فصل الربيع (آذار)، بينما يزداد تكراراً باتجاه الارتفاع في درجات الحرارة بداية فصل الخريف (ت ١) ونهاية فصل الربيع (نيسان وأيار).

#### (٨-١) الأمطار

هي تكتف الأبخرة الموجودة في الغلاف الجوي وتساقطها على شكل قطرات صغيرة يتراوح قطرها من ٥ .٠ إلى ٥ ملم، وإذا كان أقل من ذلك، فإنه يسمى المطر الرذاذ.

وتتحكم عدد من العوامل في كمية الأمطار المتساقطة على المنطقة واحتلافها من مكان إلى آخر ومن سنة إلى أخرى، وهي الموضع بالنسبة للمسطحات المائية واتجاه الرياح وكذلك التضاريس ودرجة الحرارة والمنخفضات الجوية<sup>(٨)</sup>، والموضع الفلكي للمنطقة الذي يقع ضمن نطاق مرور المنخفضات الجوية المتوسطية التي تبدأ في منتصف شهر تشرين الأول بأعداد قليلة، ثم تبدأ في الزيادة في فصل الشتاء، فيقل عددها وفعاليتها في فصل الربيع وتوقفه في الصيف يساعد الضغط الجوي المنخفض فوق الخليج العربي والسهل الروسي على جذب هذه المنخفضات نحو العراق ومن ثم تهطل الأمطار.

تتأثر كمية الأمطار بالكتل الهوائية التي تمر فوق المنطقة وهي الكتلة الهوائية القطبية الباردة (cp) القادمة من سيبيريا، متأثرة بالكتل الهوائية السيبيرية وانحرافها نحو الجنوب، والقادمة عبر الشرق (إيران) والأناضول بنسبة ٢٠.٧٪، تتأثر المنطقة بالكتلة القطبية البحرية الواردة (MP)، من أوروبا والبحر الأبيض المتوسط ٦.٩٪، الكتلة الهوائية القارية (CT) قادمة من شبه الجزيرة العربية، والكتلة البحرية (MT) (٩).%

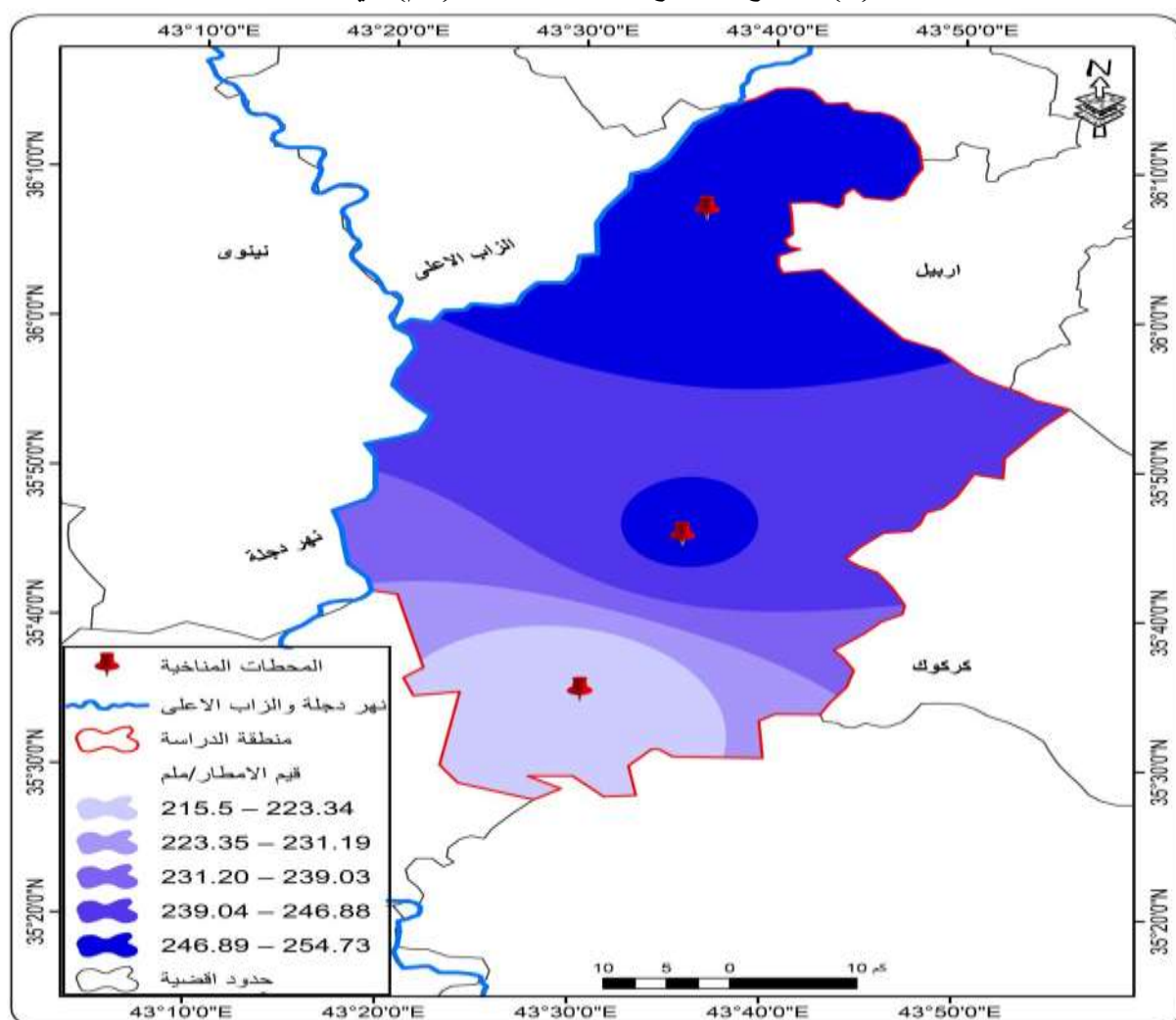
**جدول (٧) يوضح المجاميع الشهرية والسنوية للأمطار (ملم) في محطات منطقة الدراسة لمدة (١٩٩٢-٢٠٢٢)**

الجنوبية	مخمور	الشمالية	المحطات	الأشهر
13.3	14.7	16.88		تشرين ١
27.1	30.1	31.83		تشرين ٢
31.2	43.3	35.83		كانون ١
33.2	44.8	38.12		كانون ٢
27.6	36.8	32.49		شباط
37.1	35.5	44.40		آذار
33.7	33.2	39.12		نيسان
12.4	10.1	16.06		أيار
215.5	248.6	254.73		<b>المجموع السنوي</b>

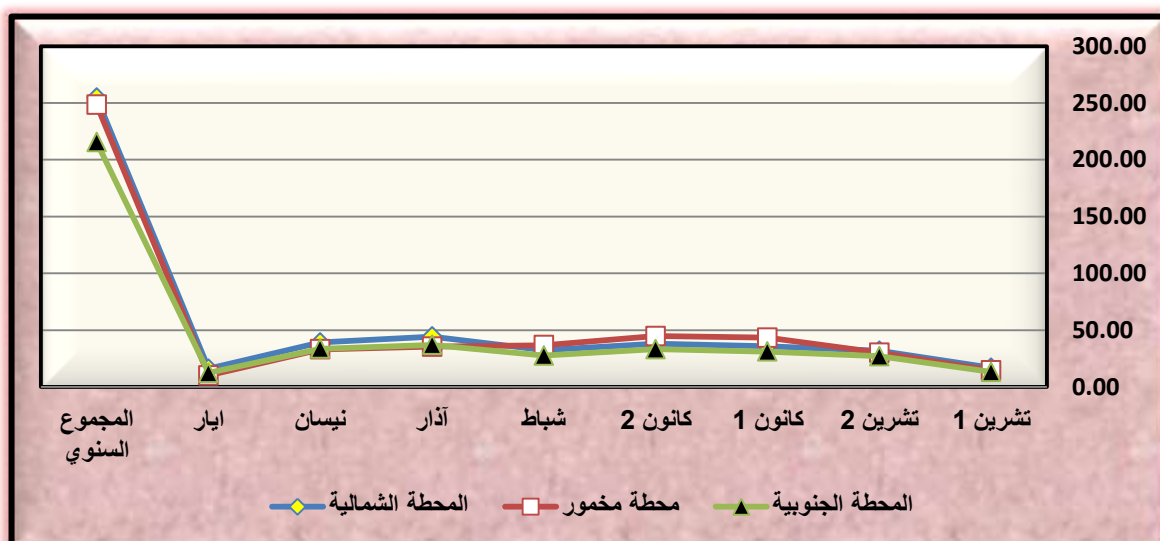
المصدر : وزارة النقل، الهيئة العامة للأتواء الجوية والرصد الزلزالي، قسم المناخ، بغداد، ٢٠٢٢، (بيانات غير منشورة).

المصدر: بالاعتماد على بيانات ناسا الرابط <https://power.larc.nasa.gov/data-access-viewer>

#### خرطة (٤) توضح مجاميع السنوية للأمطار(ملم) في منطقة الدراسة



شكل (٣) يوضح المجاميع الشهرية والسنوية للأمطار في محطات منطقة الدراسة لمدة (١٩٩٢ - ٢٠٢٢)



المصدر: من عمل الباحث بالاعتماد على الجدول (٧)

المعدل العام للأمطار في عموم منطقة الدراسة (٢٣٩.٦١) ملم، ويتبيّن من تحليل الجدول (٧) والخرائط (٤) والشكل (٣) اعلاه ان هناك تباين في مجاميع الاشهر العامة للأمطار بين محطات منطقة الدراسة، اذ بلغ المجموع السنوي للأمطار في المحطة الشمالية (٢٥٤.٧٣) ملم وبلغ المجموع السنوي للأمطار في محطة مخمور (٢٤٣.٦) ملم، بينما بلغ المجموع السنوي للأمطار في المحطة الجنوبية (٢١٥.٥٥) ملم، ويتبيّن ان مجموع الأمطار يباعن زمانيا من شهر لأخر اذ تبدأ بالزيادة تدريجيا في اشهر الخريف (تشرين ١ ،تشرين ٢) وباللغة مجموعها (٣١.٨٨ ،١٦.٨٣) ملم في المحطة الشمالية، وبلغ مجموع (٣٠.١ ،١٤.٧) ملم في محطة مخمور، وبلغ (٢٧.٢٧.١ ،١٣.٣) ملم في المحطة الجنوبية، وتبلغ مجموع الامطار اعلى مستوياتها في فصل الشتاء (كانون ١ ، كانون ٢ ، شباط) وبداية الخريف (آذار ، نيسان) بسبب نشاط المنخفضات المتوسطية والمنخفضات المدمجة في هذه الفترة، وينخفض تساقط الامطار في شهر ايار وقد بلغ التساقط المطري اثناء هذه الاشهر (كانون ١ ، كانون ٢ ، شباط ، آذار ، نيسان ، ايار) (٣٥.٨٣ ، ٣٨.١٢ ، ٣٢.٤٩ ، ٤٤.٤٠ ، ٣٩.١٢) على التوالي في المحطة الشمالية، وبلغ (٤٤.٨ ، ٤٣.٣ ، ٤٣.٢ ، ٣٥.٥ ، ٤٦.٨) ملم على التوالي، وبلغ (٣٣.٢ ، ٣١.١٩ ، ٣٣.٣٢ ، ٣٧.١١ ، ٢٧.٦٠ ، ٣٣.٦٥ ، ١٢.٤٢) في المحطة الجنوبية على التوالي.

#### (١-٨-١) نماذج التطرف المطرية

وهي تقسيم التذبذب في كميات التساقط المطري للتعرف عليه، واستخراج الحدود القصوى من خلال قياس مجاميع الامطار السنوية في كل محطة. ويتم استخراج هذه النماذج المطرية على أساس الفرق بين المتوسط والانحراف المعياري لدرجات الحرارة، وعلى هذا الأساس تظهر النطاقات المطرية التي تحدد عدد تكرارات كل نموذج من مجموع سنوات الدراسة. للوصول النماذج المطرية المتطرفة وهي:

جدول (٨) حدود النماذج المطرية وتكرارها للمحطة الشمالية لمدة ١٩٩٢-٢٠٢٢

رطب جدا			الرطب			المعتدل			الجاف			جاف جدا			النماذج
الأشهر	١.٥+ ع	م ك	١+ ع	م ك	م ك	٠.٥-٠.٥+ ع	م ك	١- ع	م ك	١- ع	م ك	١- ع	م ك	١.٥+ ع	
تشرين ١	٤٩ فاكثر	39.55	2	48.9	12.76	12	27.5-6.1	1.75	12	٦ فاقل	—	—	—	—	
تشرين ٢	٥٧.٧ فاكثر	47.46	4	٥٧.٦	30.08	10	٤٤.٧-١٨.٩	13.25	5	٥.٩	٢.٦٣	٦	٥.٨	٥.٨	
كانون ١	٦٥.٦ فاكثر	٥٥.١٤	٤	٦٥.٥	٣٢.٧٧	١٤	٥٠.٧-٢٠.٩	١٥.٨٢	٤	٦	٤.٢١	٥	٥.٩	٥.٩	
كانون ٢	٦٤.٩ فاكثر	٥٦.٦٩	٤	٦٤.٨	٣٨.٨٣	١١	٥١.٥-٢٤.٧	٢٠.٠٣	٥	١١.٣	٧.٠٣	٦	١١.٢	١١.٢	
شباط	٥٤.٤ فاكثر	٥٢.٧٣	١	٥٤.٣	٣٤.٢٢	١٤	٤٣.٤-٢١.٥	١٨.٨٣	٧	١٠.٦	٥.٢٧	٤	١٠.٥	١٠.٥	
آذار	٧٦.٤ فاكثر	٦٨.٥٥	٢	٧٦.٣	٤١.٢١	١٣	٦٠.٣-٢٨.٤	٢٠.٥٦	١٠	١٢.٤	١٠.٥٥	١	١٢.٣	١٢.٣	
نيسان	٦٧.٥ فاكثر	٦٠.٦٣	٢	٦٧.٤	٣٨.٥٢	١٣	٥٣.٣-٢٤.٩	١٨.٤٥	٤	١٠.٧	٦.٧٢	٦	١٠.٦	١٠.٦	
أيار	٣٤.٤ فاكثر	٢٧.٤٧	٤	٣٤.٣	١٣.٥٧	٩	٢٥.٢-٦.٩	٢.٤٦	١٤	٦.٨	—	—	—	—	
المجموع السنوي	٣٧٣.٤ فاكثر	٣٢٦.٢٤	٤	٣٧٣.٣	٢٣٥.٨٦	١٤	٣١٤-١٩٥.٤	١٦٦.٥٢	٦	١٣٦.١	٩٧.٩	٣	١٣٦	١٣٦	
النسبة المئوية للنكرارات %	١٠%			١٣%			٤٧%			٢٠%			١٠%	١٠%	

المصدر: <https://power.larc.nasa.gov/data-access-viewer>

المصدر : وزارة النقل، الهيئة العامة للألواء الجوية والرصد الزلزالي، قسم المناخ، بغداد, ٢٠٢٢،(بيانات غير منشورة).

جدول (٩) حدود النماذج المطرية وتكرارها لمحطة مخمور لمدة ١٩٩٢-٢٠٢٢

رطب جدا			الرطب			المعتدل			الجاف			جاف جدا			النماذج
الأشهر	١.٥+ ع	م ك	١+ ع	م ك	م ك	٠.٥-٠.٥+ ع	م ك	١- ع	م ك	١- ع	م ك	١- ع	م ك	١.٥+ ع	
تشرين ١	٣٤.٣ فاكثر	٢٨.٩٥	٢	٣٤.٢	١١.٨	١٣	٢٤.٤-٤.٩	٠.٤٥	١١	٤.٨ فاقل	—	—	—	—	
تشرين ٢	٦٣.٥ فاكثر	٥٠.٧٧	٤	٦٣.٤	٢١.٩	١٠	٤٦.٧-١٣.٤	٧.٠٦	١٢	١٣.٣ فاقل	—	—	—	—	
كانون ١	٧٥.٢ فاكثر	٦٩.٥	٣	٧٥.١	٤١.٧	١١	٥٩.٢-٢٧.٣	١٦.٧٥	٨	١١.٤	٤.٦٦	٣	١١.٣	١١.٣	
كانون ٢	٧٥.٣ فاكثر	٦٩.٦٤	٥	٧٥.٢	٣٩	١٢	٦٠-٢٩.٥	٢٢.٢٤	٨	١٤.٣	٦.٢	٢	١٤.٢	١٤.٢	
شباط	٦٨.٦ فاكثر	٥٩.٤٦	٣	٦٨.٥	٢٨.٧	١٤	٥٢.٦-٢٠.٩	١٢.٥٢	٨	٥.١	٣.٩	١	٥	٥	
آذار	٦٢.٩ فاكثر	٥١.٧	٢	٦٢.٨	٣٦.٦	١١	٤٩.١-٢١.٨	١٥.٣١	٨	٨.١	٤.٥٤	٤	٨	٨	
نيسان	٧٢.٨ فاكثر	٦٨.٧	١	٧٢.٧	٢٧.٤	١٦	٥٢.٩-١٣.٤	٥.٤٨	٩	١٣.٤ فاقل	—	—	—	—	
أيار	٢٤.٧ فاكثر	١٩.٦	١	٢٤.٦	٩.٥	١٤	١٧.٣-٢.٨	٠.٤٩	١٣	٢.٨ فاقل	—	—	—	—	
المجموع السنوي	٣٦٦.٨ فاكثر	٣٢٧.١٧	٤	٣٦٦.٧	٢٣٨.٩	١٦	٣٠٧.٦-١٨٩.٥	١٤١	٣	١٣٠.٤	١٠١.٦٥	٤	١٣٠.٣	١٣٠.٣	
النسبة المئوية للنكرارات %	١٠%			١٣%			٥٣%			١٠%			١٣%	١٣%	

المصدر: <https://power.larc.nasa.gov/data-access-viewer>

المصدر : وزارة النقل، الهيئة العامة للألواء الجوية والرصد الزلزالي، قسم المناخ، بغداد, ٢٠٢٢،(بيانات غير منشورة).

جدول (١٠) حدود النماذج المطرية وتكرارها لمحطة الجنوبية لمدة ١٩٩٢-٢٠٢٢

رطب جدا			الرطب			المعتدل			الجاف			جاف جدا			النماذج
الأشهر	١.٥+ ع	م ك	١+ ع	م ك	م ك	٠.٥-٠.٥+ ع	م ك	١- ع	م ك	١- ع	م ك	١- ع	م ك	١.٥+ ع	
تشرين ١	٣٠.٢ فاكثر	٢٣.١٣	١	٣٠.١	٩.٦٧	١٢	٢١.٦-٤.٨	٠	١١	٤.٧ فاقل	—	—	—	—	
تشرين ٢	٥٤ فاكثر	٤٩.٢١	٣	٥٣.٩	٢٦.٤٦	١٠	٤٠.٥-١٣.٦	٨.٢	٩	٠.٢	٠	٤	٠.١	٠.١	
كانون ١	٥٦.٩ فاكثر	٤٧.٨٩	٥	٥٦.٨	٣٠.٢	١١	٤٤-١٨.٣	١٣.٧١	٥	٥.٤	٤.٣٩	٦	٥.٣	٥.٣	
كانون ٢	٥٩ فاكثر	٥٢.٧٤	٨	٥٨.٩	٣١.٢	١٢	٤٦.٢-٢٠.٢	١١.٦	٥	٧.٥	٢.٦٣	٤	٧.٤	٧.٤	
شباط	٤٧.٤ فاكثر	—	—	٤٧.٣	٢٩.٨٩	١٥	٣٧.٤-١٧.٧	١٣.٤٧	٩	٧.٨	٠	٢	٧.٧	٧.٧	
آذار	٦٤.٢ فاكثر	٥٤.٤٩	٣	٦٤.١	٣١.٣٣	١٥	٥٠.٦-٢٣.٦	١٣.١٨	٨	١٠.١	—	—	١٠	١٠	
نيسان	٥٩.٦ فاكثر	٥٩.٦٣	٥	٥٩.٥	٣١.٧٣	١٢	٤٦.٥-٢٠.٧	١٣.١٨	٦	٧.٨	٤.٢٧	٤	٧.٧	٧.٧	

أيار السنوي	المجموع	فائق	فأقل	—	—	—	فأقل	فأعلى	فأقل	فأعلى	فأقل	فأعلى	فأقل	فأعلى	فأقل	فأعلى
46.14	4	28.5	فأكثـر	22.85	3	28.4	9.1	13	20.4-4.4	0.11	10	4.3	—	—	—	أيار
458.78	3	323.8	فأكثـر	300.58	2	323.7	215.81	16	269.6-161.4	135.19	7	107.3	44.82	2	107.2	فأكـل

[المصدر: https://power.larc.nasa.gov/data-access-viewer](https://power.larc.nasa.gov/data-access-viewer)

**وذلك تبعاً للمواقع الجغرافية لمحطات منطقة الدراسة وكما يأتي:**

## (١-٨-١) النموذج الجاف

ويقصد به معدلات كمية الامطار الشهرية الواقعة بين (-١٥ و -١) انحراف معياري عن المعدل العام. نجد ان هذا النموذج يزداد تكرار في الاشهر التي تقل فيها الامطار بسبب قلة تأثير المحفضات الجوية فيها، ويتبين من الجداول (٨ و ٩) ان هناك تباين في تكرارات ومعدلات هذا النموذج بين محطات منطقة الدراسة اذ بلغ المعدل السنوي للمحطة الشمالية (١٦٦.٥٢) ملم وبلغت نسبة تكرارات هذا النموذج (%) ٢٠، وبلغ المعدل السنوي لمحطة مخمور (١٤١) ملم وبلغت نسبة التكرارات في هذا النموذج (%) ١٠، بينما بلغ المعدل السنوي للمحطة الجنوبية (١٣٥.١٩) وبلغت نسبة تكراراته (٢٣)%. اما معدلات التساقط المطري الشهيرية ضمن التكرارات في المحطة في الشمالية تراوحت بين (١.٧٥) ملم في شهر تشرين ١ وهو الأقل مطرا في النموذج الجاف و(٢٠.٥٩) ملم في شهر آذار وهو الأكثر مطرا، بينما تراوحت معدلات الامطار في محطة مخمور بين (٠.٤٥) ملم في شهر تشرين ١ و(٢٤) ملم في شهر كانون ٢، وتراوحت معدلات الامطار في المحطة الجنوبية بين (٠) ملم في شهر تشرين ١ وبين (١٣.٧١) ملم في شهر كانون ١، اما عدد التكرارات الشهيرية لهذا النموذج تراوحت بين (٤) في شهري كانون الاول ونيسان و(١٤) في شهر ايار في المحطة الشمالية، بينما تراوحت بين (٨) في الاشهر كانون ١ و كانون ٢ وشباط وآذار و(١٣) في شهر ايار في محطة مخمور، وتراوحت بين (٥) في شهري كانون ١ وكانون ٢ و(١١) في شهر تشرين ١ في محطة الجنوبية.

## (١-٨-٢) النموذج الرطب

ويقصد به معدلات كمية الامطار الشهرية الواقعة بين (-١٥ و -١) انحراف معياري عن المعدل العام. ونجد ان هذا النموذج يزداد تكرارا في الاشهر الاكثر مطرا بسبب نشاط المنخفضات الجوية والتي تجلب الكتل الهوائية الرطبة، ويتبين من الجدولين (٨ و ١٠) ان هناك تباين بين محطات منطقة الدراسة في معدلات كمية الامطار في هذا النموذج اذ بلغ المعدل السنوي للأمطار في هذا النموذج (٣٦٢.٢٤) ملم وقد شكلت تكرارات هذا النموذج (١٣)% من بين النماذج، بينما كان المعدل السنوي للنموذج الرطب في محطة مخمور (٣٢٧.١٧) ملم وشكلت نسبة التكرارات في هذا النموذج (١٣)% من بين تكرارات النماذج في محطة مخمور، وبلغ المعدل السنوي للأمطار في المحطة الجنوبية (٣٠٠.٥٨) وبلغت نسبت التكرارات (٧)% وقد تراوحت معدلات الشهرية بين (٢٧.٤٧) في شهر ايار وهو الاكثر مطرا و(٦٨.٥٥) في شهر آذار وهو الاقل مطرا في المحطة الشمالية، بينما تراوحت معدلات الامطار الشهرية في محطة مخمور بين (١٩.٦) ملم في شهر ايار وهو الاقل مطرا و(٦٩.٦٤) ملم في شهر كانون ٢ وهو الاكثر مطرا في محطة مخمور، وتراوح بين (٢٢.٨٥) ملم في شهر ايار و(٥٤.٤٩) ملم في شهر آذار في المحطة الجنوبية. اما عدد التكرارات الشهرية في هذا النموذج تتراوح بين (١) في شباط و(٤)

تكرارات في الاشهر تشرين ٢ وكانون ١ وايار في المحطة الشمالية، وتتراوح في محطة مخمور بين (١) في شهر شباط وبين (٤) تكرارات في شهر كانون ٢، وتتراوح بين (١) تكرارات في شهر تشرين ١ و (٨) في شهر كانون ٢ ، ولا يوجد أي تكرار لهذا النموذج في شهر شباط.

#### (٣-١-٨) النموذج الجاف جداً (الطرف)

ويقصد به معدلات كمية الامطار الشهرية التي تقل عن (١.٥-) انحراف معياري. يتبع من تحليل الجداول (٨ و ٩ و ١٠) ان هناك تباين بين محطات الدراسة في معدلات الامطار اذ بلغ المجموع السنوي للأمطار في هذا النموذج في المحطة الشمالية (٩٧.٩) ملم بينما في محطة مخمور (١٠١.٦٥) ملم وبلغ في المحطة الجنوبية (٤٤.٨٢) ملم، وبلغت نسبة التكرار السنوي هذا النموذج في المحطة الشمالية (١٠) %، بينما بلغت نسبته في محطة مخمور (١٣) % بينما بلغت في المحطة الجنوبية (٢) %، اما معدلات الشهرية للأمطار في التكرارات فقد تراوحت بين (٢.٦٣) ملم في شهر تشرين ٢ وهو الأقل مطراً وبين (١٠.٥٥) ملم في شهر آذار وهو الأكثر مطراً في هذا النموذج في المحطة الشمالية، وتتراوح معدلات الشهرية للأمطار في محطة مخمور بين (٣.٩) ملم في شهر شباط وبين (٦.٢) في شهر كانون ٢ ، بينما تراوحت بين (٠) في شهر تشرين ٢ وشباط و(٤.٣٩) في شهر كانون ١ في المحطة الجنوبية. اما تكرارات في المحطة الشمالية تراوحت بين (١) في شهر آذار و(٦) في الاشهر تشرين ٢ وكانون ٢ ونisan، بينما تراوحت عدد التكرارات في محطة مخمور بين (١) في تشرين ٢ و(٤) في شهر آذار، وتراوحت التكرارات بين (٢) في شهر شباط و (٦) في شهر كانون ١ ، ولا يوجد أي تكرار لهذا النموذج في شهر تشرين ١ وايار في جميع محطات منطقة الدراسة واضافة الى ذلك عدم وجود تكرارات لشهر تشرين ٢ ونisan في مخمور ولا يوجد أي تكرار لشهر آذار في المحطة الجنوبية في النموذج الجاف.

#### (٤-١-٨) النموذج الرطب جداً (الطرف)

ويقصد به معدلات كمية الامطار الشهرية التي تزيد عن (١.٥+) انحراف معياري. يتضح من الجداول (٨ و ٩ و ١٠) ان هناك تباين في تكرارات ومعدلات هذا النموذج بين محطات منطقة الدراسة اذ بلغ المعدل السنوي للمحطة الشمالية (٥١٣.٢٥) ملم وبلغت نسبة تكرارات هذا النموذج (١٠) %، وبلغ المعدل السنوي لمحطة مخمور (٤٩٨.٩٦) ملم وبلغت نسبة التكرارات في هذا النموذج (١٠) %، بينما بلغ المعدل السنوي للمحطة الجنوبية (٤٥٨.٧٨) وبلغت نسبة تكراراته (١٠) %. اما معدلات التساقط المطري الشهرية ضمن التكرارات في المحطة في الشمالية تراوحت بين (٤٨.٥١) ملم في شهر ايار وهو الأقل مطراً في النموذج الرطب جداً و(١١٠.٧٤) ملم في شهر آذار وهو الأكثر مطراً، بينما تراوحت معدلات الامطار في محطة مخمور بين (٤٥.٨٥) ملم في شهر ايار و(١١٣.١) ملم في شهر كانون ٢ ، وتراوحت معدلات الامطار في المحطة الجنوبية بين (٤١٠.٦) ملم في شهر تشرين ١ وبين (١٣١.٨٤) ملم في شهر كانون ٢، اما عدد التكرارات الشهرية لهذا النموذج تراوحت بين (٣) في شهر كانون ١ و(٥) في الاشهر تشرين ٢ وnisan وايار في المحطة الشمالية، بينما تراوحت بين (٣) في الاشهر كانون ٢ وايار و(٥) في شهر كانون ١ وآذار في محطة مخمور، وتراوحت بين (١) في شهر كانون ٢ و(٦) في شهر تشرين ١ في محطة الجنوبية.

ويتضح لنا مما سبق تذبذب كميات الامطار من شهر لأخر ومن سنه لأخرى اذ تزداد تطرفاً وتذبذباً نحو الرطبة خلال اشهر الشتاء (كـ ١، كـ ٢، شباط) من خلال ملاحظة تكرارات النموذج الرطب، وتزداد تطرفاً وتذبذباً نحو الجفاف في بدايات فصل الخريف أي افي شهر (١) ونهاية فصل الربيع في شهر

(ايار) من خلال ملاحظة تكرارات النموذج الجاف في الجداول (٢٦ و ٢٧ و ٢٨)، وان المحطة الشمالية اكثراً مطراً ثم تليها محطة مخمور وبعدها المحطة الجنوبية بسب زيادة تأثير المنخفضات المتوسطية والكتل الهوائية الرطبة بالاتجاه نحو الشمال، كما نجد كميات الامطار تنخفض في بداية فصل الربيع في شهر تشرين ١ لتبدأ بعد هذا الشهر بالارتفاع وتنخفض في نهاية فصل الربيع في شهر ايار، بسبب نشاط المنخفضات المتوسطية والمدمجة في نهاية فصل الخريف (تشرين ٢) وخلال فصل الشتاء (كانون ١، كانون ٢، شباط) وببداية ومنتصف فصل الربيع (آذار، نيسان).

#### (١٠-١) التحليل الاحصائي لتكرار النماذج المتطرفة وتكرار ظاهرة الصقيع

يستخدم التحليل الاحصائي لإيجاد ومعالجة الارقام وذلك بإنشاء قاعدة بيانات بين المتغيرات الخاصة بالصقيع مع التطرفات المناخية في منطقة الدراسة اذ قسمت الى نماذج حرارية ومطوية لمدة البالغة (٣٠) سنة، ولقد تم اخذ جميع التكرارات الخارجية عن المعدل في النماذج الحرارية والمطوية وذلك للوصول الى نتائج افضل، وقد تم استخدام برنامج spss v23 لإدخال البيانات وايجاد العلاقة الاحصائية ونسبة التأثير لكل متغير على الصقيع وقد تم استخدام معادلة الارتباط الخطى لبيرسون هي كالاتى<sup>(١)</sup>.

$$r = \frac{n \sum xy - \sum x \sum y}{\sqrt{(n \sum x^2 - (\sum x)^2)(n \sum y^2 - (\sum y)^2)}}$$

كما تم استخدام معادلة (معامل التحديد  $R^2$ ) حيث يبين معامل التحديد لنموذج الانحدار نسبة التباين في المتغير التابع ( $Y_1, Y_2, Y_3, \dots, Y_n$ ) والمتمثلة بالمعادلة الآتية ..

**Coefficient of Determination  $R^2$**

$$\text{معامل التحديد } R^2 = \frac{\text{SSR}}{\text{SST}}^{(1)}$$

اذ ان :

$R^2$  : معامل التحديد

SSR : مجموع المربعات العائدة للانحدار

SST : مجموع المربعات الكلي

وتم دراسة وبيان معامل التحديد وقيم الانحدار وتم ايجاد العلاقة لكل محطة بالإضافة الى معامل  $\text{sig}$  وايضاً نسبة التأثير ثم ايجاد قوة الارتباط بين المتغيرات المؤثرة على ظاهرة الصقيع .

#### (١٠-١-١) المحطة الشمالية :-

من خلال الجدول (١١) الذي يمثل تأثير النماذج المناخية على ظاهرة الصقيع ويتم ذلك بإيجاد قوة الارتباط بين النماذج المناخية وظاهرة الصقيع ، وكانت النتائج في المحطة الشمالية كالاتي ، كانت قريبة من (١) في النموذج البارد وهي علاقة قوية جداً وبالبالغة (٩٨، ٠)، تلاه النموذج الرطب بعلاقة طردية ضعيفة بلغت (٤، ٠)،اما النماذجين الحار والجاف فكانت علاقتهما سالبة عكسية اذ بلغ النموذج الجاف قوة ارتباط (٣٢، ٠) والنماذج الحار ايضاً علاقة عكسية سالبة مبتعدة عن (١) الذي هو المعيار في قوة الارتباط.

جدول (11) تأثير النماذج المناخية المتطرفة على ظاهرة الصقيع في المحطة الشمالية للمدة ١٩٩٢-٢٠٢٢ م

المعادلة التقديرية	الصيغ	Constant	النموذج البارد	النموذج الحر	النموذج الجاف	النموذج الرطب
	Y=	C	X1	X2	X3	X4
	1	0.98	0.14 -	0.32 -	0.14	
الاختبارات الاحصائية	المحسوبة T	0.47	1.9	2-	2.2 -	1.8
	الجدولية T	2.015	2.312	2.312	2.312	2.312
	نسبة التأثير	47%	-47%	-13%	% 33	
	(R)	(R <sup>2</sup> )	المحسوبة F			الجدولية F
	% .80 <sup>a</sup>	% 64	1.36			5.5
المعنوية	معنوي	Sig	D:F			
		0.41	1-4			

المصدر : بالاعتماد على برنامج spss والجدوال (٨) و (١٢).

### (٤-١) محطة مخمور

يتبع من الجدول (١٢) ان تأثير النماذج المناخية المتطرفة على ظاهرة الصقيع اتى ايجابي بدلالة معنوية قوية في النموذج البارد بنسبة تأثير (٥٩%) تلاه النموذج الرطب بنسبة تأثير (٢٩%) اما النماذجين الحر والجاف فكان تأثيرهما سلبي عكسي بنسبة (-٥٠%) للنموذج الحر ونسبة (-٩%) للنموذج الجاف وبالتالي فان هذان النماذجين كانت قوة الارتباط بظاهرة الصقيع ايضا عكسي بمقدار (-٠.٤٩) للنموذج الحر و (-٠.٣١) للنموذج الجاف ، اما النماذجين البارد والرطب فكانت الارتباط ايجابي ذو دلالة معنوية فقد سجل قوة ارتباط (٠.٥٩) ارتباط جيد قوي تلاه النموذج الرطب بمقدار (٠.٤١) هو ارتباط متوسط موجب ذو دلالة احصائية موجبة ، اما قيمة R<sup>2</sup> كانت معامل ارتباطها (٠.٧٥) ارتباط قوي وهذا يفسر ان ٨٦% من التباين في عالي للقيم وذا يدل على رفض الفرض الصفرى ونقبل الفرض البديل بان الارتباط معنوي ذو دلالة ولا يساوي (٠) وتم شرح التأثير ونسب التأثير لكل متغير اعلاه.

جدول (١٢) تأثير النماذج المناخية المتطرفة على ظاهرة الصقيع في محطة مخمور للمدة ١٩٩٢-٢٠٢٢ م

المعادلة التقديرية	الصيغ	Constant	النموذج البارد	النموذج الحر	النموذج الجاف	النموذج الرطب
	Y=	C	X1	X2	X3	X4
	1	0.59	0.49 -	0.31 -	0.41	
الاختبارات الاحصائية	المحسوبة T	1.4	0.34	1.6 -	1.8 -	1.9
	الجدولية T	2.015	2.312	2.312	2.312	2.312
	نسبة التأثير	59%	-50%	-9%	% 29	
	(R)	(R <sup>2</sup> )	المحسوبة F			الجدولية F
	% .86 <sup>a</sup>	% 75	2.2			5.5
المعنوية	معنوي	Sig	D:F			
		0.36	1-4			

المصدر : بالاعتماد على برنامج spss والجدوال (٧) و (١١).

### (٣-١) المحطة الجنوبية

كانت النتائج مقاربة للمحطتين السابقتين في الجدول (١٣) بمقادير اقل بالنسبة للنموذج البارد اذ سجل (٤٧,٠) بقوة علاقة ارتباط قوية تلاه النموذج الرطب اذ سجل (٣٥,٠) ايضا علاقة ارتباط متوسطة طرية اما العلاقة العكسيه فكانت للنموذج الحر بمقدار ارتباط (-٤٤,٠) تلاه النموذج الجاف بعلاقة عكسيه ايضا بمقدار (-١٧,٠) علاقة ضعيفة عكسيه سالية .

جدول (١٣) تأثير النماذج المناخية المتطرفة على ظاهرة الصقيع في المحطة الجنوبية لمدة ١٩٩٢-٢٠٢٢ م

المعادلة التقديرية	الصقيع	Constant	النموذج البارد	النموذج الحر	النموذج الجاف	النموذج الرطب
	Y=	C	X1	X2	X3	X4
		1.3	0.47	0.44 -	0.17 -	0.35
الاختبارات الاحصائية	T المحسوبة	0.47	2.1	1.6-	1.1 -	0.9
	T الجدولية	2.015	2.312	2.312	2.312	2.312
	نسبة التأثير	81%	-89%	-40%	% 19	
	(R)	(R <sup>2</sup> )	F المحسوبة			الجدولية F
	% .78 <sup>a</sup>	% 61	1.8			5.5
المعنوية	معنوي	Sig	D:F			
		0.47	1-4			

المصدر : بالاعتماد على برنامج spss والجدول (٦) و (١٠).

من خلال الجدول (٤) تبيّنت القيم تبعاً لموقع المحطات في منطقة الدراسة لكنها اجمعت على ان العلاقة سالبة في النموذج الحر لما له تأثير سلبي على ظاهرة الصقيع وتلاه ايضاً النموذج الجاف في تسجيل القيمة السالبة لكنها سالبة عكسية قريبة من (١) اما نسب التأثير فكان النموذج البارد له التأثير الاكبر من بين النماذج المتطرفة في منطقة الدراسة اذ تفاوتت بالجيدة التأثير الى متعددة التأثير حسب العمل الاحصائي الذي يحدد القيم ودرجة التأثير فكانت قوة الارتباط للمحطة الشمالية قوية جداً بمقدار (٠،٩٨) وهذا النتيجة قريبة على (١) بشكل كبير اما المحطة الثانية التي سجلت قوة ارتباط جيدة فهي محطة مخمور بمقدار (٠،٥٩) واخر محطة هي المحطة الجنوبية التي سجلت قوة ارتباط (٠،٤٧) وهي علاقة احصائية موجبة متعددة اما نسب التأثير فكان اكبر نموذج مؤثر ايجاباً هو النموذج البارد بمقدار (٠٨١%) في المحطة الجنوبية من منطقة الدراسة ثالثة محطة مخمور بمقدار (٥٩%) واخيراً المحطة الشمالية بمقدار (٤٧%) وهذا التسجيل يدل على التطرف الحاصل في تسجيل قيم النماذج المناخية اذ شدت في المنطقة الجنوبية وكانت قيمته اكبر في قوة التأثير من بين المحطات الاخرى وذلك بسبب موقع المحطة الاحادية.

جدول (٤) يمثل نسبة التأثير وقوة الارتباط للنماذج المتطرفة على ظاهرة الصقيع لمحطات منطقة الدراسة

المحطة الجنوبية	محطة مخمور	المحطة الشمالية	المحطات	المتغيرات	
				مجاميع معدل ايام الصقيع	عدد سنوات الدراسة
١٠,٧	١٢,٣	١٥	النموذج البارد	نسبة علاقـة الارتبـاط	٣٠
٣,	٣,	٣,			٠,٤٧
٠,٤٧	٠,٥٩	٠,٩٨			٠,٣٢
٠٨١	٥٩%	٤٧%			٠,٣٢
٠٤٤-	٠,٤٩-	٠,١٤-			٠,٢٠
٠٨٩-	٥٠%	٤٧%			٠,١٧-
٠٣٤	٠,١٦	٠,١٠	النموذج الحر	نسبة علاقـة الارتبـاط	٠,١٧-
٤٠%	٩%	١٣%			٠,١٦
٠,٣٥	٤١	١٤			٠,٢٠
					٠,٢٠
			النموذج الجاف	نسبة علاقـة الارتبـاط	٠,٣١-
					٣٢-
					٠,٣١-
			النموذج الرطب	نسبة علاقـة الارتبـاط	٠,١٦
					٠,١٠
					٠,١٠

ضعيفة موجبة	متوسطة موجبة	ضعيفة موجبة	قوه الارتباط sig	
٠,٦٢	٠,١٨	٠,١٦		
%١٩	%٢٩	%٣٣	نسبة التاثير	

المصدر بالاعتماد على الجدول (١١), (١٢), (١٣) ومخرجات برنامج spss

## الاستنتاجات

- خلصت الدراسة تباين العناصر المناخية بين محطات منطقة الدراسة، وهذا يؤدي الى تباين تكرار ظاهرة الصقيع في منطقة الدراسة، اذ بلغت مجاميع المعدل السنوي للصقيع (١٥) في المحطة الشمالية، بينما بلغت (١٢.٣) في محطة مخمور، وبلغت (١٠.٧) في المحطة الجنوبية.
- سيطرة التطرف المناخي في منطقة الدراسة، لاحظ الجدول (١٥) لنسب التطرف لدرجة الحرارة الدنيا وللأكثر كمية امطار كونها اكثر ارتباطاً بالظاهرة المدروسة وهي كالتالي:
  - تبين نسبة التذبذب في درجة الحرارة الدنيا في المحطتين الشمالية والجنوبية عن محطة مخمور اذ بلغت نسبة التذبذب لمعدل الاشهر فيها (١٣.٣%, ٦.٧%) على التوالي.
  - تبين نسبة التذبذب لأكثر كمية امطار في المحطتين الشمالية ومخمور عن المحطة الجنوبية بلغت نسبة التذبذب لمعدل الاشهر فيها (٢٣.٣%, ٦.٧%) على التوالي.
  - تبين نسبة التذبذب الشهرية في درجة الحرارة الدنيا بين المحطات اذ تراوحت بين (١٠-٢٣.٣%) في المحطتين الشمالية ومخمور، بينما تراوحت بين (٦.٧-٢٠%) في المحطة الجنوبية.
  - تبين نسبة التذبذب الشهرية لأكثر كمية امطار اذ تراوحت بين (١٠-٢٣.٣%) في المحطة الشمالية، بينما تراوحت في محطة مخمور بين (١٣.٣-٢٦.٧%), وتراوحت بين (٣٠-٣١.٣%) في المحطة الجنوبية.

جدول (١٥) تباين نسب التذبذب لعناصر المناخ لمحطات منطقة الدراسة

الأشهر	المحطة					
	الجنوبية	مخمور	الشمالية	الحرارة الدنيا %	نسبة التذبذب لدرجة الحرارة الدنيا %	نسبة التذبذب لأكثر كمية امطار %
تشرين ١	٢٣.٣	١٣.٣	٢٠.٠	١٦.٧	٢٠.٠	١٦.٧
تشرين ٢	٢٣.٣	١٠.٠	٢٦.٧	١٠.٠	٣٠.٠	١٠.٠
كانون ١	٢٦.٧	٢٠.٠	٢٦.٧	٢٣.٣	٢٣.٣	٢٣.٣
كانون ٢	٣٠.٠	١٣.٣	٢٦.٧	١٠.٠	٢٦.٧	١٠.٠
شباط	١٣.٣	١٦.٧	٢٣.٣	١٣.٣	١٦.٧	١٦.٧
آذار	٢٣.٣	١٠.٠	٢٣.٣	١٠.٠	٢٠.٠	١٠.٠
نيسان	٢٦.٧	١٦.٧	١٦.٧	١٦.٧	٢٣.٣	١٦.٧
أيار	٢٣.٣	٦.٧	١٣.٣	١٠.٠	٣٠.٠	١٠.٠
المعدل	١٦.٧	١٣.٣	٢٣.٣	٦.٧	٢٣.٣	١٣.٣

المصدر: بالاعتماد على الجداول (٤) و (٥) و (٦) و (٨) و (٩) و (١٠)

- توصلت الدراسة الى تأثير النموذج البارد والنماذج الرطب ايجاباً على تكرار وحدوث ظاهرة الصقيع، وهي كالتالي:

- النموذج البارد: بلغت نسبة تأثيره (٤٧%) على الصقيع في المحطة الشمالية، وبلغت نسبة تأثيره (٥٩%) على الصقيع في محطة مخمور، اما في المحطة الجنوبية بلغت نسبة تأثيره (٨١%) على الصقيع.

بـ. النموذج الرطب: بلغت نسبة تأثيره (٣٣%) على الصقيع في المحطة الشمالية، وفي محطة مخمور بلغت نسبة تأثيره (٢٩%) على الصقيع، بينما في المحطة الجنوبية كانت نسبة تأثيره (١٩%) على الصقيع.

٥- توصلت الدراسة الى ان النموذج الحار والنموذج الجاف يؤثران سلباً على تكرار وحدوث ظاهرة الصقيع، وهي كالتالي:

أـ. النموذج الحار: بلغت نسبة تأثيره (٤٧%) على الصقيع في المحطة الشمالية، اما في محطة مخمور بلغت نسبة تأثيره (٥٠%) على الصقيع، وفي المحطة الجنوبية بلغت نسبة تأثيره (٨٩%) على الصقيع.

بـ. النموذج الجاف: بلغت نسبة تأثيره (١٣%) على الصقيع في المحطة الشمالية، بينما في محطة مخمور كانت نسبة تأثيره (٩%) على الصقيع، اما في المحطة الجنوبية بلغت نسبة تأثيره (٤٠%) على الصقيع.

### الوصيات

١- تكثيف الدراسات المتعلقة بظاهرة الصقيع لتأثيرها على مختلف الأنشطة البشرية سلباً وايجاباً، وخاصة النشاط الزراعي والنقل، وإجراء دراسات حول هذا الموضوع في مناطق مختلفة من العراق.

٢- تشخيص العناصر الشاذة في عناصر الطقس والمناخ لبعض المناطق ومن ثم دراستها بشكل تفصيلي للحد من الآثار السلبية لهذه الظاهرة.

٣- التوسع في إنشاء محطات الأرصاد الجوية بهدف دراسة العناصر المناخية لتزويد الدراسات المناخية ببياناتها مع ضرورة القضاء على مشكلة توقف المحطات عن العمل والاهتمام بقياس العناصر المناخية والظواهر المناخية.

٤- الاهتمام بدراسة الظواهر المناخية المتطرفة التي تتعرض لها منطقة الدراسة لتحديد اسبابها والعوامل التي أدت إلى حدوثها.

## المصادر

- <sup>١</sup>) محمد صبر طبر الرويسي، تطرف العناصر اليومية في العراق (دراسة في علم المناخ الشمولي)، رسالة ماجستير (غير منشورة)، كلية التربية جامعة واسط، ٢٠١٧، ص ٨٣.
- <sup>٢</sup>) حسين جبر وسمى الشمري، عمار محمد صبيح، التطرف والتذبذب لدرجة الحرارة في العراق (دراسة في المناخ الشمولي)، جامعة بغداد، مجلة مداد الآداب، العدد ١٧، ٢٠١٩، من ٦٦.
- <sup>٣</sup>) حسين جبر وسمى الشمري، تكرار ظاهرة الصقيع وطول مدة بقائه على العراق دراسة في المناخ الشمولي، جامعة بغداد، كلية الآداب، مجلة كلية الآداب، العدد ٩١، ٢٠٠٩، ص ١٧٨.
- <sup>٤</sup>) محمد عبد الرحمن الوكيل، وائل محمد الوكيل، الصقيع وصحة النبات، جامعة المنصورة، مقال، ٢٠١٠.
- <sup>٥</sup>) نعمان شحادة، علم المناخ، علم المناخ، دار صفاء للنشر والتوزيع في عمان، ط١، ٢٠٠٩، ص ١٦٦.
- <sup>٦</sup>) الأمم المتحدة، الهيئة الحكومية الدولية المعنية بالتغيير المناخي، تغير المناخ التجمعي، ٢٠٠١، ص ٢٧.
- <sup>٧</sup>) منذر كامل اسماعيل السامرائي، التطرف في درجات الحرارة العظمى والصغرى في محافظة صلاح الدين، جامعة سامراء، مجلة سر من رأى للدراسات الإنسانية المجلد ١٨، العدد ٧٤، ٢٠٢٢، ص ٨٨٤.
- <sup>\*</sup> ع = الانحراف المعياري.
- <sup>\*</sup> ك = التكرارات.
- <sup>\*</sup> م ك = معدل درجات الحرارة/م ضمن التكرار.
- <sup>٨</sup>) هدى ريسان فاضل، سولاف عدنان جابر النوري، تذبذب العناصر المناخية في المنطقة المتموجة من العراق وشذوذها، الجامعة المستنصرية، مجلة الآداب، ملحق ١، العدد ١٣٨، ٢٠٢١، ص ٣٣١.
- <sup>٩</sup>) حمدة حمودي شيت العبيدي، العبيدي، اثر التطرف المناخي على بيئه الاقليم التموج في العراق، اطروحة دكتوراه غير منشورة، كلية التربية، جامعة تكريت، ٤، ٢٠٠٤، ص ٤٧.
- <sup>\*</sup> م ك = معدل كمية الامطار/ملم ضمن التكرار.
- <sup>١٠</sup>) (<https://cutt.us/bUWDV>) فريد خليل الجاعوني، اسلوب تحليل الانحدار الخطى المتعدد في دراسة اهم المتغيرات الاقتصادية والاجتماعية واليموغرافية المؤثرة في عدد الولادات الكلية، مجلة جامعة دمشق للعلوم الاقتصادية والقانونية، المجلد ٢٤ العدد الثاني، ٢٠٠٨ ص ٢٤١.

(١٢) <https://power.larc.nasa.gov/data-access-viewer>

(١٣) وزارة النقل، الهيئة العامة للأتواء الجوية والرصد الزلالي، قسم المناخ، بغداد، ٢٠٢٢، (بيانات غير منشورة).

- 1) Muhammad Sabr Tabar Al-Ruwaished, Extremism of Everyday Elements in Iraq (A Study in Holistic Climatology), Master's Thesis (Unpublished), College of Education, Wasit University, 2017, p. 83.
- 2) Hussein Jabr and Sami Al-Shammari, Ammar Muhammad Sobeih, Extremism and Temperature Fluctuation in Iraq (A Study in the Totalitarian Climate), University of Baghdad, Madad Al-Adab Magazine, Issue 17, 2019, from 611.
- 3) Hussein Jabr and Sami Al-Shammari, The recurrence of the phenomenon of frost and the length of its stay in Iraq, a study in the totalitarian climate, University of Baghdad, College of Arts, Journal of the College of Arts, No. 91, 2009, p. 178.
- 4) Muhammad Abd al-Rahman al-Wakil, Wael Muhammad al-Wakil, Frost and Plant Health, Mansoura University, article, 2010.
- 5) Noman Shehadha, Climatology, Climatology, Safaa Publishing and Distribution House in Amman, 1st edition, 2009, p. 166.
- 6) United Nations, Intergovernmental Panel on Climate Change, Climate Change Synthesis, 2001, p. 27.

- 
- 7) Munther Kamel Ismail Al-Samarrai, Extremism in Maximum and Minimum Temperatures in Salah al-Din Governorate, University of Samarra, Sirr Min Ra'a Journal for Human Studies, Volume 18, Issue 74, 2022, p. 884.
- 8) Hoda Raysan Fadel, Solaf Adnan Jaber Al-Nouri, fluctuations of climate elements in the undulating region of Iraq and their anomalies, Al-Mustansiriya University, Journal of Arts, Supplement 1, Issue 138, 2021, p. 331.
- 9) Hamda Hamoudi Sheet Al-Obaidi, Al-Obaidi, The Impact of Climate Extremism on the Environment of the Ripple Region in Iraq, unpublished doctoral thesis, College of Education, Tikrit University, 2004, p. 47.
- 10) Farid Khalil Al-Ja'louni, Multiple Linear Regression Analysis Method in Studying the Most Important Economic, Social, and Demographic Variables Affecting the Total Number of Births, Damascus University Journal of Economic and Legal Sciences, Volume 24, Issue Two, 2008, p. 241.
- 11) Ministry of Transport, General Authority for Meteorology and Seismic Monitoring, Climate Department, Baghdad, 2022, (unpublished data).